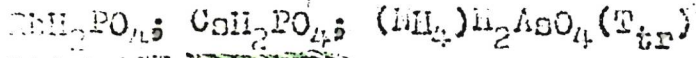


Cs-P

VE

1641

1953



LeBot J., Le Montagner S., Allain Y.
Compt. rend., 1953, 236, 1409-12

Study at 9500 Mc. of the phase-transitions of some alkali phosphates and arsenates

C. A., 1953, 8436c

Be

1957

Cs₄P₂O₇ (Tm) X-5629

Osterheld R.K., Marcowitz M.H.

J. Phys. Chem., 1956, 60, N^o 7, 363-367 (ann.)

Polymerization and depolymerization phenomena in phosphate-metaphosphate systems at higher temper-

ature, 1957, 15021

5 cm. H. O.

Ratner. IV. Condensation reactions of
alkali metal hydrogen phosphates.

Moscow, 1954, 15(2).

$C_3 P_3 O_{10}^{4-}$ (P-P, K₂O) (K₂P)¹⁹⁵⁹
A-505

Wolkeff J.A., Overbeek J.T.G.,
Recueil trav. chim.,

1959, 78, 759



corr φ-K^B

CsHP₂O₇²⁻ A-505 1959
(p-p, H₂O) (K₂)

Wolhoff J.A., Overbeek J.T.G.

Recueil trav. chim.,

1959, 78, 759



● err q.K B

$\text{Li}_2(\text{O}_3\text{PF})$, $\text{Cs}_2\text{O}_3\text{PF}$, $\text{Cs}_2\text{O}_3\text{PF} \cdot \text{CsF}$ (T_m)

1968

X4537

Буянова, Г.А., Марыюровское У.В.7

Из. Акад. СССР, Красн. Маяк, 1966,

2(11) 2015-19.

Изучение Родионов & гранитных
и метаморф. породных () шлаковых и
и метаморфосов () шлаковых и
БФ

СД, 1967, № 6, № 3, № 4

$\text{LiPO}_3 \cdot \text{CsPO}_3$ (T_m , T_{de}), no 1366
 KPO_3 , CsPO_3 , T_{de}) X-6286

Жигулевское мест., Быховец Т.А.

ДН. № 20524. 24.04.1966, № 110, 2373 - 2382

Составлено вручную в лаборатории
Института химии Академии наук ССР

Редакция 962

35569

Б (д)

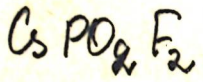
(CsPO₃)
1967

111811t Phase diagrams for binary systems of alkali metal metaphosphates and chlorides. G. A. Bukhalova and I. V. Mardirosova. Zh. Neorg. Khim. 12(8), 2199-205(1967)(Russ).

The following binary systems were studied: LiPO₃-LiCl, NaPO₃-NaCl, KPO₃-KCl, and CsPO₃-CsCl. In the 1st system a eutectic is formed at 540° and 57% LiCl. Solid solns. with $\leq 30\%$ LiCl are formed. At 504° the compd. LiPO₃.2LiCl is formed with polymorphic transformation at 465°. In the NaPO₃-NaCl system a eutectic is formed at 565° and 30% NaCl. At 505° in the solidus, the compd. NaPO₃.2NaCl is formed. The system KPO₃-KCl is eutectic at 635° and 27% KCl. At 450°, the polymorphic transformation α -KPO₃ \rightleftharpoons β -KPO₃ takes place. At 360° KPO₃.2KCl is formed. In the CsPO₃-CsCl system a eutectic was observed at 510° and 47% CsCl. The polymorphic transformation α -CsPO₃ \rightarrow β -CsPO₃ takes place and the transformation of α -CsCl \rightarrow β -CsCl at 450°. At 400° CsPO₃.2CsCl is formed. The compds. MPO₃.2MCl exist only in solid soln. Between chlorides and metaphosphates of the alkali metals, no compds. are formed analogous to those formed between the fluorides and metaphosphates. Monochlorophosphoric acid does not exist. The size of the F⁻ ion is closer to that of the O²⁻ ion than is the case with the Cl⁻ ion. 15 references. L. Holl

T_{t2}
(CsPO₃)
X - Gk/G - bG

C.A. 1967. 67. 24



Trotter F.)

1687

Whitlow S.H.

J. Chem. Soc., A, N8,
1383.

сургучура

Сургучура дифторофосфатов
натрия и щелочи и руды
железа.



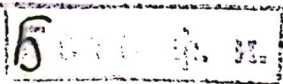
X-6194

1968

G [O₃ PF], Zr₂ [O₃ PF] "gp.
(Tm, Δ Hm, Δ Sm)

Бухалова Г.А., Мартиросова Н.В.,
Всес. Изделия собр. химич. касп-
гетов. союз., 1., Чиг-бо ЛГУ,
1968, том. 2, '96-100

Рнжк, 1969, 4B116



Na_3PO_4 , K_3PO_4 , Cs_3PO_4 (T_{dr}) $\frac{10}{x} 409$, 1968

Буханова Т.А., Мардиресова Г.В.,

Чуб. Власи. Грибк. Завед. Юли. и др.

Технол., 1968, 11(8), 855-60.

Овощи
и
фрукты

Среднее

опроцессоров

и
консервов

шестер

изделий

Б/п 6

С.1969.№4, 14859

$\text{Cd}(\text{PO}_4)_2$, CsPO_3 (Tm) 6 10 1569

$\text{CdCs}(\text{PO}_4)_2$, $\text{CdCs}_2(\text{PO}_4)_3$ (Tm) 116452

Savitzky-Gol'dsch-Puchot Sil.-T.

C. Z. Acad. sci., 1869, C269, N°. 26-29 (pparec.)

Étude des systèmes mélaphosphate de
cesium - mélaphosphate de cadmium.

P. D. J. B. S. A., 1870

35335

8

5 (P)

C₅P₃N₃F₇ (cyclic anpa) w 1970

Douglas W.ell; Cooke M.; Lustig J.; Ruff J.

Inorg. Nucl. Chem. Lett., 1970, 6, No 4,

X4764 409-11 (anal.)

New anionic derivative of
P₃N₃F₆.

10

CA, 1970, 73, NY 20948k

$Rb_5P_3O_{10}$, $Cs_5P_3O_{10}$ (T_{min}) в 1920

Криболов Е.Л, Волкова В.П.

Воскресенская Н.К. X 4720

Узб. АН СССР. Неоргик. материалы,

1970, 6, № 4, 761-765

Есть. ф. к.

Диаграммы состояния синтетических

$RbPO_3 - Rb_4P_2O_7$ и $CsPO_3 - Cs_4P_2O_7$

РЖХЧиМ, 1920

185700

○

5 (р) 6

KH_2PO_4 , NiH_2PO_4 , REH_2PO_4 , 1970

CsH_2PO_4 , MgH_2PO_4 , CsH_2MgPO_4 13 10

Lorionoro G. M. \bar{x} 5058

Malice. Res. Bull., 1970, S, No. 775782 (cont)

A D.T.R. study of the ferroelectric
transition in KH_2PO_4 type crystals

PHL 1971 () 5@6
761021 ()

$\text{Na}_4\text{P}_2\text{O}_7$, $\text{K}_4\text{P}_2\text{O}_7$, (T_{tr})
 $\text{Cs}_4\text{P}_2\text{O}_7$, $\text{Li}_4\text{P}_2\text{O}_7$, (T_m)

X 5121

1970

Маргарибова И. В., Біжсаева Т. А.

Ж. неорг. хим., 1970, 15, № 9, 2507-11
(русск.)

Двойные системы пирогидратов щелочных металлов и хоридов щелочных металлов.

9

OP

CA/1970, 73, N22, 1134374

$\text{RbHg}(\text{PO}_4)_2$, $\text{CsHg}(\text{PO}_4)_2$ (I_{m}) 1970
VO

Norberg Jr., Andree D 24885

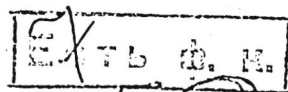
C. R. Acad. Sci., 1970, 270, N^o 1, 1718-1720 (PFR)

Полигидратизированное ортофосфатоаммоний

Руберия и геодин.

Ottakr., 1970

23B25



b (P)

Li_3PO_4 , Rb_3PO_4 , Cs_3PO_4 (S, dHf) 1971
10

Безлоб В.Н., Надеевъ М.Н. № 6440

Узб. хим. журн., 1971, №3, 15-17

Физико-химические свойства
конденсированных фосфатов
лития, рубидия и цезия

РНХ Журн., 1971

225722

10

Безлоб
5, м. (cp)

CsH₂PO₄
2

BX-7108

1971

90920w Differential thermal analysis of cesium dihydrogen orthophosphate. Yanagisawa, Masakuni; Saito, Nobufusa (Coll. Gen. Educ., Univ. Tokyo, Tokyo, Japan). *Nippon Kagaku Zasshi* 1971, 92(12), 1116-19 (Japan). In the DTA of CsH₂PO₄, 4 endothermic peaks were found at 232, 260, 300-340, and 485° which were assigned to a new phase transition, melting of the phosphate, dehydration polymn. of oligophosphate, and formation of polyphosphate, resp.

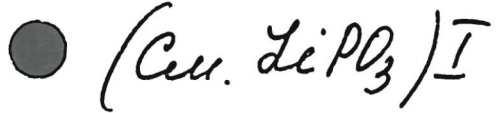
K. Yamasaki

T_{tr}

C.A. 1972. 96-16

CsPO_3 Kleppa O.J., 1971
Ko H. Ch.

ΔH_{mix} Inorg. Chem. 1971,
10, 4, 441.



Фотоаппарат NHG, №1,
RB, Cs / Tru-
гейгауми- (OMF, S°) 10 13
Горюхин - Голиков Т. М., № 7174

УЗД. хим. отд., 1972, 16, № 34-5 (РУСС.)

5, м **ср**

10

Гидравлические свойства

искусственных и натуральных
материалов. Аддитивы, шелк,
хлопок и **чеснок**.

(с.р. оригинал)

СА, 1972, № 24, 115670X

1972

CsPF₆

Ehlert, Thomas C.;
Hsia Ming - Ming.

(ΔH_f)

"J. Chem. Eng. Data"
1972, 17, N^o 1, 18-21.



(ex. NaPF₆; I)

C₁S-фосфаты

БР-Р-7667 1973

Бештов Б.И.; Белова В.И.

(C_P)

"Узб. экз. №."

1973, №1, 32-35.

● (C₁S·Li-Фосфаты; I)

CSP03

Бекетуров А.Б.; Урух В.Р.,
Моис А.Е., Сандаков В.А.

1973

(Pai, AKS; ASS) "Дальневосточная Конференция",
Джек; май 24-26, 1973,
СИР 18-21.

NaPF₆; KPF₆; RbPF₆; CsPF₆(SHf) 1972

Ehlert Th. C., Hsii. Nl.-N., X 6934

J. Chem. Eng. Data, 1972, 17, N1, 18-21
(cont.)

Thermal decomposition of alkali metal hexafluorophosphates.

M④

S

④

CA, 1972, 46, N12, 64242, p

1972

CsH₂PO₄
2

159301q Dehydration of cesium dihydrogen phosphate.
Yaglov, V. N.; Rud'ko, P. K.; Novikov, G. I. (Beloruss.
Tekhnol. Inst., Minsk, USSR). *Zh. Fiz. Khim.* 1972, 46(2),
532 (Russ). Addnl. data considered in abstracting and indexing
are available from a source cited in the original document.
DTA of CsH₂PO₄ shows endothermic effects at 233, 263, 320,
480, and 735° with intermediate ions of PO₄³⁻, P₂O₇⁴⁻, and
(PO₃)_nⁿ⁻. The amt. and character of the intermediate prod-
ucts depend on the temp. and its duration. The dehydra-
tion of CsH₂PO₄ was investigated under vacuum. The CsH₂PO₄
frees 1 mole of water with enthalpy change of $\Delta H_T^\circ = 81.5 \text{ kJ}/$
mole and entropy change of $\Delta S_T^\circ = 137.65 \text{ entropy units}$.

D. Meranda

DR gleeg
AS gerungs

C.A. 1972. 76 26

Li_3PO_4 , Rb_3PO_4 , Cs_3PO_4 , Li_2PO_3 , Rb_2PO_3 , 1973

CsPO_3 , $\text{Li}_5\text{P}_3\text{O}_{10}$, $\text{Rb}_5\text{P}_3\text{O}_{10}$, $\text{Cs}_5\text{P}_3\text{O}_{10}$, $\text{Li}_6\text{P}_4\text{O}_{13}$, $\text{Rb}_6\text{P}_4\text{O}_{13}$,
 $\text{Cs}_6\text{P}_4\text{O}_{13}$, $\text{Li}_3\text{P}_3\text{O}_9$, $\text{Rb}_3\text{P}_3\text{O}_9$, $\text{Cs}_3\text{P}_3\text{O}_9$, $\text{Li}_4\text{P}_2\text{O}_7$,
 $\text{Rb}_4\text{P}_2\text{O}_7$, $\text{Cs}_4\text{P}_2\text{O}_7$ (CP)

Бергоб Б.Ш., Бергоб В.И. № 7667

УЗС. хим. 24, 1973, №1, З2-35.

Штеплюемкостъ конденсированик

фосфатов ищчие, рубидий 4 5с348

при повышенных температурах,

РДН. хим., 1973

146762

1

Б CP

22

10+10

LiPO_3 , NaPO_3 , RbPO_3 № 7915 1973
 CsPO_3 (T_m , ΔH_m , T_{t2} , ΔH_{t2})

Маркина Г.Б., Воскресенская Н.К.
Ж. неорганический, 1973, 18, №
2329-2331

Оценка теплом плавления жема-
фосфатов изоготных методом
жемодорож кристаллическое

РНХИИ, 1973

246925

○

5 Ⓢ

NaPF₆; CsPF₆ (T_{tr}) X 8081

1973

Niemela L., Komu M., 10 liter.

Ann. Acad. Sci. Fenn., 1973, A6, N403,

12 pp (atuu.)

Reorientation motions and spin-
-rotation interaction in solid
sodium hexafluorophosphate
and cesium hexafluorophos-
phate. Б (cp) CA, 1973, 79, N14, 853586

X Tep. → ред. RbH_2PO_4

a.f.c

1943

CsH_2PO_4

X-8393

Orel B., Hradčí D.

J. Mol. Struct., 1943, 13, N3, 495 (астр.)

Асимметрическое кристаллообразование
турмалиназы RbH_2PO_4 , определенное
методом инфракрасной спектроскопии.

РХ 145939 (1944)

Б, №.

LiH_2PO_4 , $\text{Li}_2\text{H}_2\text{P}_2\text{O}_7$, LiPO_3 , 1973
 KH_2PO_4 , $\text{K}_2\text{H}_2\text{P}_2\text{O}_7$, KPO_3 , RBH_2PO_4 , RBPo_3 ,
 $\text{RE}_2\text{H}_2\text{P}_2\text{O}_7$, CsH_2PO_4 , CsPO_3 (ΔH_f , ΔH)
Рудаков П.К., Язлов В.Н., Новиков Г.И.

В сб. „Шестая Всея. конф. по калориметрии“ 1973. Рассмотр. тезисы докт.“
Труды инст. „Мечникова“, 1973, 77-78 № 7957
Калориметрическое исследование кристаллов
срединных фосфатов элементов I группы

Рига, 1974

25786

LIT (92) 403

1975

LiPO_3 , NaPO_3 , KPO_3 , RbPO_3 , CsPO_3

$(\text{LiPO}_3)_2$, $(\text{NaPO}_3)_2$, $(\text{KPO}_3)_2$, $(\text{RbPO}_3)_2$, $(\text{CsPO}_3)_2$
($\Delta H_{\text{дисс}}$, ΔH_V , Р). X-9353

Александров А.С., Стеблевский И.В.,
Горюхов В.И., Соколова Н.Д.

Докл. АН СССР, 1975, 222 (3), 629-32

термостойкости и стабильности
металлоорганических соединений
макроэлементов

○ На память из Б.М. (р)

С. Н. 1975. 83 № 16. 1378592.

LiPO_3 , KPO_3 , RbPO_3 , CsPO_3 | 1975
(p. ΔH_V), $(\text{LiPO}_3)_2$, $(\text{KPO}_3)_2$, $(\text{RbPO}_3)_2$,
 $(\text{CsPO}_3)_2$ (ΔH_V , ΔH) - 89124

Аничанян А.С., Етебаевский А.В.,
Горюшкин В.И., Соколова В.П.

Узб. Ак ССР. Жемчалы, 1975, №3, 28-33

Термодинамические свойства метафосфоридов
щелочных металлов,

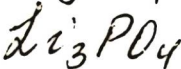
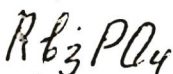
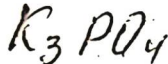
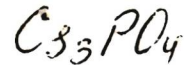
РНКХУМ, 1975

185787

5, M (P)

-13-

1975



(ΔH_f)

85: 183022f Effect of cations on the thermochemical properties of orthophosphates. Kushnir, S. V.; Ponomarenko, N. M.; Dubrovskii, V. P. (USSR). Visn. L'viv. Politekh. Inst. 1975, 95, 34-8 (Ukrain). Thermodn. stability and enthalpy of formation from the oxides at 298°K of $\text{M}_{\text{I}}\text{PO}_4$ and $\text{M}_{\text{II}}\text{PO}_4$ were studied as functions of the ionization potential, V , of metal, as well as of its ionic potential, $x = (\text{ionic charge})/(\text{covalent radius})$, where $\text{M}_{\text{I}} = \text{Cs, K, Rb, Li, and M}_{\text{II}} = \text{Zn, Pb, Mn, Mg, Ca, Sr, Ba, Cu, Be, Co, and Fe}$. The starting temp. was detd. of the reaction between H_2O and $\text{Be, Mg, Ca, Ba, and Zn}$ orthophosphates as a function of V . The x was the main factor affecting stability, and similar characteristics were obsd. with the corresponding sulfates.

S. Santoli

$\text{Ca}_3(\text{PO}_4)_2$, $\text{Sr}_3(\text{PO}_4)_2$, $\text{Ba}_3(\text{PO}_4)_2$
 $\text{Be}_3(\text{PO}_4)_2$ $\text{Zn}_3(\text{PO}_4)_2$, $\text{Pb}_3(\text{PO}_4)_2$
 $\text{Co}_3(\text{PO}_4)_2$, $\text{Fe}_3(\text{PO}_4)_2$

C. A. 1976. 85 N 24

CsD₂PO₄

88-9199

1075

CsH₂PO₄

(\perp)
itr

24 Б573. Диэлектрические свойства CsH₂PO₄ и CsD₂PO₄. Levstik A., Blinc R., Kadaba P., Cizikov S., Levstik I., Filipic C. Dielectric properties of CsH₂PO₄ and CsD₂PO₄. «Solid State Communns», 1975, 16, № 12, 1339—1341 (англ.)

На частоте 1 кГц измерены т-рые зависимости диэлектрич. проницаемости вдоль оси *b* ромбич. кристаллов CsH₂PO₄ и CsD₂PO₄, т-ры Кюри к-рых, соотв., составляют —119,5 и —5,55°. Изучено изменение т-ры фазового перехода (ΔT_c) в CsD₂PO₄ в зависимости от напряженности электрич. поля (*E*). Полученное значение $\Delta T_c/\Delta E = 5,8^\circ \text{ кв}^{-1} \cdot \text{см}^{-1}$ согласуется с данными измерений т-рой зависимости величины спонтанной поляризации.

И. А. Клейнман

Х1975 №24

CsH₂PO₄

391-X-9199

1975

(itr)

89433c Dielectric properties of cesium dihydrogen phosphate and cesium dideuterium phosphate. Levstik, A.; Blinc, R.; Kadaba, P.; Cizikov, S.; Levstik, I.; Filipic, C. (Inst. J. Stefan, Univ. Ljubljana, Ljubljana; Yugoslavia). *Solid State*

Commun. 1975, 16(12), 1339-41 (Eng). Orthorhombic CsH₂PO₄ undergoes a ferroelec. transition at $T_c = -119.5^\circ\text{C}$, whereas the ferroelec. transition temp. in isomorphous CsD₂PO₄ is $T_c = -5.55^\circ\text{C}$. The transitions are 1st-order in both cases. The rather large isotope effect demonstrates the importance of the O-H-O bonds in the transition mechanism.

C.A. 1975, 83 n 10

$C_3H_2PO_4$

1976

$C_3D_2PD_4$

$BaMnF_4$

(T_{cr})

86: 131941f Dielectric properties of the 250°K phase transition in barium tetrafluoromanganate and of cesium dihydrogen and dideuterium phosphates. Levstik, A.; Blinc, R.; Kadaba, P.; Cizikov, S.; Levstik, I.; Filipic, C. (Inst. J. Stefan, Univ. Ljubljana, Ljubljana, Yugoslavia). *Ferroelectrics* 1976, 14(1-2), 703-6 (Eng). The dielec. const. of $\underline{BaMnF_4}$ was detd. near the 250 K phase transition along the a , b , and c axes. The dielec. const. along the a axis peaks at -23.3°C but changes monotonically with temp. along the other 2 axes. Orthorhombic CsH_2PO_4 undergoes a ferroelec. transition at -119.5°C whereas the transition temp. in $\underline{CsD_2PO_4}$ is -5.55°C. Both transitions are 1st order. The large isotope effect demonstrates the importance of O-H...O H bonds in the transition mechanism.

C.A. 1977 86N18



71

1976-

CsPO₃
1976

10 Б691. Комплексобразование в системе метафосфат цезия — метафосфат марганца(II). Рабкина И. Г., Бухалова Г. А., Мардиросяна И. В. «Изв. АН СССР. Неорганические материалы», 1976, 12, № 12, 2219—2222

Методами ДТА, рентгено- и хроматографии, ИК-спектроскопии исследована система CsPO₃ (I) — Mn(PO₃)₂ (II). Построена диаграмма состояния системы, на к-рой выделены два соединения Cs₂Mn(PO₃)₄ (III) и CsMn(PO₃)₃ (IV), плавящиеся инконгруэнтно при 658 и 740°, точка соотв-щая эвтектике при 86,5 мол.% I и т. пл. 625°, полиморф. превращение I при 484°. Возможно образование ограниченных тв. р-ров на основе I и II. Оба соединения кристаллизуются в ромбич. сингонии и имеют параметры элементарных ячеек: I $a = 5,68 \pm 0,05$, $b = 6,02 \pm 0,05$, $c = 10,10 \pm 0,10$ Å; IV $a = 5,51 \pm 0,01$, $b = 7,45 \pm 0,02$, $c = 14,10 \pm 0,05$ Å. По данным колебательных спектров и хроматографич. анализа сделан вывод о цепочечном строении фосфатных анионов $[(PO_3)_4]_\infty$ $[(PO_3)_3]_\infty$, на основании чего оба соединения отнесены к полифосфатам.

В. Н. Цыганков

(+)

(X)

2, 1977 N 10

LiPO_3 , NaPO_3 , KPO_3 , RbPO_3 ,
 CsPO_3 (ΔH_f° , S° , δH_v , δH_s) X-983.2 DT 36978

1976

Ратковский У.А., Аицукко В.Я.,

Урих В.Я., Сенчев В.Я., Крысико Н.Я.

В сб. „Химия и хим. техника”, Вып. 10.

Минск, „Вышэйш. школа”, 1976, 3-25.

Термодинамическое исследование продуктов

парообразования октафосфатов элементов 1-й
подгруппы периодической системы

РИИ Унив. 1976

155848

Б, М 

б/н 268

X-9964

1976

CsPO₃, LiPO₃ u gp. (P, oHv, oHf, S)

Ратковский И.А., Ашумко В.А., Гоух В.А.

Кричевко Н.Я.

Изд. Всесоюз. ин. заб. СССР, Химия и химия.
Технология, 1976, 19, №5, 675-677

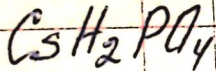


Б.И

edit open

Р.И.Х, 1976, 285809

1976



21 Б393. Кристаллическая структура и сегнетоэлектрические свойства дигидрофосфата цезия CsH_2PO_4 . Uesu Y., Kobayashi J. Crystal structure and ferroelectricity of cesium dihydrogen phosphate CsH_2PO_4 . «Phys. status solidi (a)», 1976, 34, № 2, 475—481 (англ., рез. франц.)

Исследована крист. структура (дифрактометр, λ Mo, 800 отражений, МНК в изотропном приближении, $R = 0,115$) и диэлектрич. св-ва кристаллов CsH_2PO_4 , полученных упариванием водн. р-ра. Параметры монокл. решетки: $a = 7,90065$, $b = 6,36890$, $c = 4,87254$ Å, $\beta = 107,742^\circ$, ρ (изм.) 3,20, ρ (выч.) 3,28, $Z = 2$, ф. гр. $P2_1/m$. Атом Cs координирован 8 атомами О тетраэдров $\text{PO}_2(\text{OH})_2$: средн. расстояние Cs—O 3,32 Å. В тетраэдрах H_2PO_4 расстояния P—O 1,464—1,607 Å. Атомы Cs и P образуют практически линейные ряды вдоль направлений [101] (Cs—P 4,05 Å), [010] и [010] (Cs—P 4,07 Å). Расстояния между ближайшими атомами О и группами OH соседних рядов 2,56 и 2,43 Å, что указывает на наличие H-связей. Цепочки H-связей вдоль оси с непрерывны, тогда как в направлении оси a они прерываются. Изменение т.п. зависимости

Кристал.
структ.

X 1976 N 21

Lj, Rb, Gs - ვეგიოფიცენტრ (Otfp. A Sp. t Gf) 1972

ჩიკეთის ნ.ქ. BX-1146

Ազ. ԱԽ ՀՀ ՀՀՊ. Խօրհրդ. Առաջընթաց,

-1973, 13, N62, Տ.36-Հ.27

Տեղագրական նշան թօնում
օբյեկտի համար 160 պահպան թօնում
լինելու, բացառ և սրբագր

PH.Kos. 1978

125829



— ԱԼ Ձ

$C_3H_2PO_4$

BX-1198

1977

7 Б394. Выращивание монокристаллов дигидрофосфата цезия и их некоторые свойства. Ращкович Л. Н., Метева К. Б., Шевчик Я. Э., Гофман В. Г., Мищенко А. В. «Кристаллография», 1977, 22, № 5, 1075—1079

Методами испарения р-рителя и снижения т-ры получены кристаллы дигидрофосфата цезия. (центросимм., монокл., точечная гр. $2/m$). При -122° возникает сегнетоэлектрич. фазовый переход, а при 230 и 265° — переходы первого рода, не сопровождающиеся изменением состава. Р-римость CsH_2PO_4 с увеличением кислотности среды существенно увеличивается, а в щел. среде остается примерно постоянной.

Резюме

Ttr

27.11.77, 1978

BX-316

1977

UPO₃, 2ge M = Cs, Rb, K, Na, Li

Грибовский A.B., Алиханян A.C.
Соколова U.D., Торопова B.U.,
Н. Иордан. Химия, 1977, 22, VI, 23-26

РУК, 1977, 85731

4

$C_8H_2PO_4$

C_8PO_3

(M_f^c)
f298)

1977

Боиков

А.И. и гп.

Тез. золд. - Fe^{2+} вое.

KOH(p. no) калориметр.

31/II-77-3/II-77. H2L

82-3

1974

CsH_2PO_4

6 Б765. Исследование рентгеноструктурных, оптических и диэлектрических свойств в области фазового перехода сегнетоэлектрика CsH_2PO_4 . Uesu Y., Kobayashi J., Sandow T. X-ray, optical and dielectric studies of the phase transition of ferroelectric CsH_2PO_4 . В сб. «Четвертая Международ. конф. по сегнетоэлектричеству МКС-4, Ленинград, 1977 г. Тезисы.» Л., «Наука», 1977, 138 (англ.)

T_{cr}

Исследованы структуры фаз, оптич. св-ва и изменения диэлектрич. постоянной при напряжениях от 0 до 3,0 кв/см в интервале т-р от -126 до -110° в области фазового перехода CsH_2PO_4 . Отмечено, что переход от параэлектрич. к сегнетоэлектрич. фазе происходит при -122° .

В. Н. Цыганков

x, № 1978

1978
 CsH_2PO_4

7 E1759. Изучение структуры CsH_2PO_4 в пара-электрической фазе. Choudhary R. N. P. Neltmes R. J. A structural study of CsH_2PO_4 in the paraelectric phase. «Ferroelectrics», 1978, 21, № 1-4, 443—444 (англ.)

1978
С целью локализации атомов водорода и выяснения его роли в фазовом переходе проведено нейтронографич. изучение структуры монокристалла CsH_2PO_4 при комнатной т-ре. На образце с размерами $1,6 \times 1,5 \times 1,5$ мм подтверждена пр. гр. $B2_1/m$ и получены параметры элементарной ячейки $a = 4,8725$ (1) Å, $b = 6,3689$ (1) Å, $c = 15,0499$ (1) Å, $\beta = 90,219(5)$ °. В результате применения разностных синтезов и уточнения структуры (R -фактор равен 5,2%) определены позиционные и тепловые параметры всех атомов. Один из двух независимых атомов водорода располагается неупорядоченно в цепочках $\text{O}-\text{H}-\text{H}-\text{O}$, причем расстояние $\text{H}-\text{H}$ равно 0,49 (3) Å. Предполагается, что при фазовом переходе возможно упорядочение этих атомов водорода.

С. Соловьев

1979/НЧ



14 Б413. Структурное исследование CsH_2PO_4 в па-
раэлектрической фазе. Choudhary R. N. P., Nel-
mes R. J. A structural study of CsH_2PO_4 in the para-
electric phase. «Ferroelectrics», 1978, 21, № 1—4;
443—444 (англ.)

*регистратор
струйка.*

Проведено нейтронографич. (монохроматический авто-
дифрактометр, $\lambda = 1,1803 \text{ \AA}$; $\sin \theta / \lambda \leq 0,65 \text{ \AA}^{-1}$) исследова-
ние структуры CsH_2PO_4 (I). Параметры монокл. решет-
ки в псевдоромбич. установке: $a = 4,8725$, $b = 6,3689$, $c =$
 $15,0499 \text{ \AA}$, $\beta = 90,219$, $Z = 4$, ф. гр. $B2_1/m$. Уточнение полож-
ений атомов в I в анизотропном приближении приве-
ло к $R = 5,2\%$. Один из атомов Н статистически с вакансиами занимает общее положение, заселенное на

50% атомами Н. Н-связи О—Н ... О, лёжащие на зеркальных плоскостях связывают группы PO_4 в цепочки вдоль оси a . Эти цепочки перекладываются центросимметрическими цепочками связей О—Н ... Н—О с расстоянием Н ... Н 0,43 Å (статистически заселенные общие позиции). Последовательность разупорядоченных Н-связей тянется вдоль оси b . Делается предположение о возможном упорядочении Н-связей при фазовом переходе в сегнетоэлектрическую модификацию.

В. А. Ефремов

K'AsF₅, RbAsF₆, CsAsF₆, KPF₆, 1978

RbPF₆, CsPF₆ (T_{E2}, T_m) BX-1232

Членом лауреата Н.А.

Чкаловский Б.И.

"5-й Всесоюзный симпоз. по химии неорганических
веществ, Днепропетровск, 1978". №1, 1978, 132

Использование сводной гексаграфической методики
для определения структурных форм фосфатов."

РНН Xviii, 1978

15B15

5 Ⓢ

C₃H₂PO₄

BX-1371

1978

20 Б940. Дифференциальная сканирующая калориметрия RbH₂PO₄ и CsH₂PO₄. Metcalfe B., Clagk J. B. Differential scanning calorimetry of Rb-H₂PO₄ and CsH₂PO₄. «Thermochim. acta», 1978, 24, № 1, 149—153 (англ.)

С помощью дифференциального сканирующего калориметра исследованы высокотрные фазовые переходы в сегнетоэлектрич. кристаллах RbH₂PO₄ (I) и CsH₂PO₄ (II). Найдено, что I в интервале от 80° до т-ры разл. испытывает один фазовый псевдонеобратимый переход в области 86—111° с энталпийей 46 665 дж/моль. Других переходов, о к-рых сообщалось ранее, не обнаружено. В II найдено два перехода: первый псевдонеобратимый при 149°, а второй при 230°. Разл. II начинается при т-ре выше 250°. Энталпии превращений в II равны 1071 и 7615 дж/моль соответственно. Г. Л. А.

Tt7

()*

X. 1978, N 20

KPF₆, RCPF₆, CDPF₆ (Kc) BX-1532 1978

Tamboti T.B., Chitwan District
Captured 3rd Oct.

M. phys. number, 1978, 52, N2 2108-2109

Obtained from common name & geographical
name. Description morphological somewhat like Sarcogyrus
& Gaur.

POV Kewal, 1978

23.5.1965

W

B, M CP

CsH₂PO₄

1978

24 Б502. О свойствах дигидрофосфата цезия.
Рашкович Л. Н., Метева К. Б. «Кристаллогра-
фия», 1978, 23, № 4, 796—800

Определены параметры решетки CsH_2PO_4 при 6—
300° К. Показано, что сегнетоэлектрич. фаза имеет
пространственную группу симметрии $P2_1$. Измерена
т-рная зависимость диэлектрич. проницаемости в ин-
тервале т-р 4—560° К. Описано поведение кристаллов
при высокот-рных фазовых переходах (230 и 265° С).
Измерено изменение двуосности при нагревании образ-
цов и получена рентгенограмма первой высокот-рной
фазы, имеющей симм. не выше монокл. Показано, что
выше комн. т-ры имеет место ионная проводимость
криスタллов, и носителями зарядов являются ионы це-
зия.

Резюме

Х. 1978, № 24

1978

CsMgPO_4

Rapoport E., et al

J. Solid State Chem.,

1978, 24, N 3-4, 423-33

пояс.
правилос.
(Tm)



(Cu. RBMgPO_4 ; I)

CsH₂PO₄

10 Б796. Антисегнетоэлектричество, вызванное давлением, в сегнетоэлектрике CsH₂PO₄. Yasuda Naohiko, Okamoto Motohide, Shimizu Hiroyasu, Fujimoto Sanji, Yoshino Katsumi, Inuiishi Yoshio. Pressure-induced antiferroelectricity in ferroelectric CsH₂PO₄. «Phys. Rev. Lett.», 1978, 41, № 19, 1311—1314 (англ.)

19/8

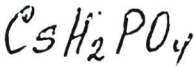
*фазовая
диаграмма*

Путем измерения диэлектрич. св-в на частоте 1 кГц в диапазоне гидростатич. давл. до 4,5 кбар исследована фазовая диаграмма CsH₂PO₄. Обнаружено, что наклон линии равновесия перехода из пара- в сегнетофазу составляет $-(8,5 \pm 0,3)^\circ\text{C}/\text{кбар}$ с $T_c = -120^\circ$ при атм. давл. Выше давл. 3,3 кбар при измерениях наблюдалось две петли гистерезиса, что говорит о переходе в анти-сегнетоэлектрич. состояние. Наклон линии равновесия параэлектрич.—антисегнетоэлектрич. фаза равен $-(6,7 \pm 0,3)^\circ\text{C}/\text{кбар}$. Тройная точка лежит при $P = 3,3 \pm 0,2$ кбар и $T = -(148,5 \pm 0,2)^\circ$. Линия равновесия сегнетоэлектрич.—антисегнетоэлектрич. фаза практически параллельна оси т-р. Полученные результаты рассмотрены на основе модели одномерного упорядочения цепного характера водородных связей вдоль b -осей.

Г. Л. Апарников

Х. 1978 № 10

1978



доказуб.
рефлекс

11 Б886. Рентгеновские и диэлектрические исследования фазового перехода в сегнетоэлектрике CsH_2PO_4 . Uesu Y., Kobayashi J., Sandow T. X-ray and dielectric studies on the phase transition of ferroelectric CsH_2PO_4 . —The Forth International Meeting on Ferroelectricity, IMF-4, Leningrad, 18—23 Sept., 1977. Part 2. «Ferroelectrics», 1978, 20, № 3—4, I—XX, 295—297 (англ.)

В интервале температур от -110° до -128° на частоте 1 кГц в электрических полях (E) до 3,0 кВ/см исследована зависимость диэлектрической постоянной ϵ' от температуры в CsH_2PO_4 (I), обладающем сегнетоэлектрическим фазовым переходом при $T_0 = -121,7^\circ$. В отсутствие поля ϵ' выше T_0 подчиняется закону Кюри—Вейсса с $C = 4,51 \cdot 10^4$ К. Ниже T_0 ϵ' не зависит от температуры. С ростом E $1/\epsilon'$ проходит через минимум. $(T - T_0)^{3/2}$ линейно зависит от E . Измерены деформации решетки как функция поля. Полученные результаты количественно объяснены на основе теории для несобственных сегнетоэлектриков. Показано, что связь между параметром порядка и поляризацией в I сильнее, чем в KH_2PO_4 .

Резюме

д. 1949, N 11

1978

CsH_2PO_4

91: 48070d X-ray and dielectric studies on the phase transition of ferroelectric cesium hydrogen phosphate. Uesu, Y.; Kobayashi, J.; Sandow, T. (Dep. Phys., Waseda Univ., Tokyo, Japan). *Ferroelectrics* 1978, 20(3-4) (Proc. Fourth Int. Meet. Ferroelectr., Leningrad, USSR, September 1977. Part 2)), 295-7 (Eng). The elec. field dependence of the dielec. susceptibility and lattice strain of CsH_2PO_4 near the ferroelec. transition at -122° is quant. explained by the theory of improper ferroelecs. The temp. dependence of the electrostriction const. Q_{22} was also examd. The coupling between an order parameter and the polarization is much stronger than in KH_2PO_4 .

(Ttr)

C.A.1979.4.16

CsH₂PO₄

1979

3 Б942. Псевдоодномерное сегнетоэлектрическое упорядочение и критические свойства CsH_2PO_4 и CsD_2PO_4 . Blinc R., Zekš B., Levstik A., Filipič C., Slak J., Burgar M., Zupančič I., Shuvailov L. A., Baranov A. I. Pseudo one-dimensional ferroelectric ordering and critical properties of CsH_2PO_4 and CsD_2PO_4 . «Phys. Rev. Lett.», 1979, 43, № 3, 231—234 (англ.)

Pz

10.219

10

1

X

Приведены результаты измерения т-рной зависимости диэлектрич. постоянной в области $3 \text{ K} < T - T_c < 90 \text{ K}$ для монокристаллов CsH_2PO_4 (I) и CsD_2PO_4 (II), испытывающих сегнетоэлектрич. фазовый переход $P_{21}/P_{1m}-P_{21}$. Для I диэлектрич. постоянная не отвечает закону Кюри—Вейса за исключением интервала, тесно примыкающего к T_c . В широком диапазоне зависимость диэлектрич. постоянной от т-ры отвечает одномерному строению в-ва. При $3 \text{ K} < T - T_c < 3 \text{ K}$ преобладает трехмерная структура. Аналогичная зависимость обнаружена

2.10.80.13

иа и для II. Приведены параметры крит. зависимости диэлектрич. постоянной, измеренной на частоте 1 кгц. Для I крит. индекс γ равен 1 вблизи T_c и $1,31 \pm 0,1$ в расширенной области. Для II этот параметр составляет 1 и $1,28 \pm 0,03$ соотв. Представлена модель, позволяющая количественно определить отношение между константами дальнего и близкого взаимодействия. С использованием данных ЯМР ^{31}P и ^2H показано, что сегнетоэлектрич. фазовый переход связан с упорядочением $\text{H}(2)$ атомов вдоль зигзагообразной цепи. Предположено, что переход носит трикрит. характер, т. е. вблизи T_c меняет свой порядок со 2-го рода на первый.

Г. Л. Апарников

1979

CsH₂PO₄

11 Б610. Зависимость диэлектрических свойств
 CsH_2PO_4 и CsD_2PO_4 от давления и температуры.
 Tasuda Naohiko, Fujimoto Sanji, Okamoto Motohide, Shimizu Higo yasu, Yoshino Katsumi, Inuishi Yoshio. Pressure and temperature dependence of the dielectric properties of CsH_2PO_4 and CsD_2PO_4 . «Phys. Rev.», 1979, B20, № 7, 2755—2764
 (англ.)

Itz

Проведено детальное исследование "влияния" т-ры (-200 — $+10^\circ$) и давл. (0—7 кбар) на диэлектрич. проницаемость и спонтанную поляризацию P_s кристаллов CsH_2PO_4 (I) и CsD_2PO_4 (II). Оба исследованных соединения при действии давл. испытывают переход в новую антисегнетоэлектрич. фазу. Влияние давл. на диэлектрич. св-ва I и II как в сегнето-, так и в антисегнетоэлектрич. фазах очень велико по сравнению с др. кристаллами с Н-связями типа КДФ. Показано, что диэлектрич. св-ва I и II, связанные с переходами из пара- в сегнето- фазу и из пара- в антисегнетоэлектрич. фазу, могут быть интерпретированы на основе спиновой модели Изинга при введении дополнительных членов, описывающих спин-спиновое взаимодействие.

И. Д. Белова

2. 1980. 111

CsH₂PO₄

1979

92: 49640x Some high-temperature properties and the Raman scattering spectra of cesium dihydrogen phosphate. Wada, Mitsuo; Sawada, Akitatsu; Ishibashi, Yoshihiro (Fac. Eng., Nagoya Univ., Nagoya, Japan 464). *J. Phys. Soc. Jpn.* 1979, 47(5), 1571-4 (Eng). High-temp. properties of CsH₂PO₄ single crystals were studied by polarizing-microscopic observations and thermal expansion measurements. The transition at 230° was confirmed, but the one at 150° reported by E. Rapoport et al. (1978) was not. The Raman scattering spectra were taken for various scattering orientations at various temps. No soft modes were detected.

Hr

C.A.1980.92.16

CsH_2PO_4 , CsD_2PO_4 (T_{tr}) 10382-X 1979

Yasuda Naohiko, Fujimoto Sanji,
Okamoto Motohide, Shimizu Hiroyasu,
Yoshino Katsuomi, Inuiishi Yoshio

Phys. Rev., 1979, B20, N7, 2755-2764 (4H2L)

Pressure and temperature dependence of the
dielectric properties of CsD_2PO_4 .

PJH Xun., 1980

116610

● 5 (cp)

CsH₂PO₄

Онтиеси 10593

1980

6 Б917. Термическая устойчивость CsH_2PO_4 . Gupta L. C., Rao U. R. K., Venkateswari K. S., Wani B. R. Thermal stability of CsH_2PO_4 . «Thermochim. acta», 1980, 42, № 1, 85—90 (англ.)

С помощью ТГА, дифференциальной сканирующей калориметрии, рентгеновского анализа и оптич. микроскопии изучена термич. устойчивость дигидрофосфата цезия (I). Образцы I получены р-рением Cs_2CO_3 в фосфорной к-те с последующим выпариванием р-ра при pH 2,5. Установлено, что термич. разл. I происходит

по схеме: $2\text{I} \xrightarrow{508\text{K}} \text{Cs}_2\text{H}_2\text{P}_2\text{O}_7 + \text{H}_2\text{O} \xrightarrow{508-688\text{K}} (\text{CsPO}_3)_x + \text{H}_2\text{O}$. Наряду с дегидратацией I претерпевает при 508 К обратимое полиморфное превращение. I — монокл., $a = 7,899 \pm 0,059$; $b = 6,376 \pm 0,048$; $c = 4,866 \pm 0,037 \text{ \AA}$; $\alpha = 90^\circ$; $\beta = 107,82^\circ \pm 0,01$; $\gamma = 90^\circ$; $Z = 2$.

Л. Г. Титов

*Tt2,
парашет
решетки*

2.1981. N6

CsH₂PO₄

1980

1 E1629. Нейtronографическое исследование сегнетоэлектрического перехода в CsH₂PO₄. A neutron diffraction study of the ferroelectric transition of CsH₂PO₄. Iwata Yutaka, Koyno Nobumitsu, Shibusawa Iwao. «J. Phys. Soc. Jap.», 1980, 49, № 1, 304—307 (англ.)

На основе 480 независимых нейtronографич. отражений проведена расшифровка структуры низкотемпературной фазы кристалла CsH₂PO₄ при —196° С. Окончательное значение фактора недостоверности $R = 0,05$. Локализация атомов водорода указывает на наличие цепей водородных связей вдоль кристаллографич. осей *b* и *c*. При этом атомы водорода, участвующие в более короткой водородной связи, располагаются в низкотемпературной фазе упорядоченно, и соответствующие длины связей O—H = 1,02 Å и H···O = 1,46 Å. Упорядочение водорода сопровождается небольшими поворотами тетраэдров PO₄ вокруг связей P—O. Связанные с этим смещения атомов дают вклад в поляризацию при фазовом переходе, который оказывается в общих чертах аналогичным переходу в KН₂PO₄.

С. П. Соловьев

Ф. 1981 N 1

CsPO₃

N- 10448

1980

93: 228977e Electron-diffraction study of the structure of molecules of gaseous metaphosphates. I. Cesium metaphosphate. Petrov, K. P.; Kolesnikov, A. I.; Ugarov, V. V.; Rambidi, N. G. (Vses. Nauchno-Issled. Inst. Metrol. Sluzhby, USSR). *Zh. Strukt. Khim.* 1980, 21(4), 193-200 (Russ). From electron diffraction data of CsPO₃, the internuclear

см. выше.
напад.

distances and mean-square vibrational amplitudes were detd. for $R = 7.69\%$. Computation of equil. configuration is recommended on the basis of the C_{2v} symmetry of the mol., D_{3h} symmetry of the PO₃ group, and internuclear distanced P-O 1.47(1) and Cs O(bridging) 2.83(10) Å.

L.A. 1980. G3 N.84

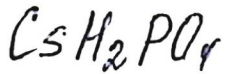
1980

$C_5H_2PO_4$

5 Б946. Исследование фазового перехода в $C_5H_2PO_4$,
методом ЭПР. Такаэути Киёбум и. «Буссэй кэнкю»,
1980, 34, № 1, 52—53 (япон.)

фазовый
переход.

Х. 1981. N 5



94: 10330n Birefringence of ferroelectric cerium dihydrogen phosphate, $C_5H_2PO_4$. Uehio, Satoshi; Nakamura, Eiji; Matsumaga, Hironori; Deguchi, Kiyoshi (Fac. Sci., Hiroshima Univ., Hiroshima, Japan 730). *J. Phys. Soc. Jpn.*, 1980, 49(5), 2085-6 (Eng). The birefringence of $C_5H_2PO_4$ was detd. for a (100) plate at 273 K. Contrary to the phenomenol. theory, the anomalous part of the birefringence obtained below the Curie temp. ($T_c = 155$ K) shows a max. at 140 K and becomes neg. below 117 K.

(Curie)

0.4.1981.94, 12

1980



4 Б964. Нейтронографические исследования зависимости ближнего порядка в CsD_2PO_4 от давления. Youngblood R., Frazer B. C., Eckert J., Shirane G. Neutron scattering study of the pressure dependence of short-range order in CsD_2PO_4 . «Phys. Rev. B: Condens. Matter.», 1980, 22, № 1, 228—235 (англ.)

В области гидростатич. давл. до 6,2 кбар при низких т-рах исследовано квазиупругое рассеяние нейтронов.

Tet

Р.1981.№4

нов образцами CsD_3PO_4 , испытывающими при атм. давл. фазовый переход от монокл. структуры ($P2_1/m$) в сегнетоэлектрич. ($P2_1$), обладающую упорядоченным расположением Н-атомов и поляризацией вдоль b -оси. Обнаружено, что с ростом давл. сегнетоэлектрич. характер межцепочечного упорядочения изменяется на антисегнетоэлектрич., при этом взаимодействие между плоскостями b и c вдоль направления a очень мало. Изменение характера взаимодействия приводит к анти-сегнетоэлектрич. укладке сегнетоэлектрич. плоскостей, вызывающей удвоение элементарной ячейки вдоль a -оси. Предложена модель, описывающая слабое взаимодействие между одномерными цепями и объясняющая характер диффузного рассеяния. Полученные результаты сопоставлены с лит. данными по диэлектрич. поведению.

Г. Л. Апарников

1981

CsD₂PO₄

24 Б1044. Фазовые соотношения при высоких давлениях в CsD₂PO₄. Kingon A. I., Clark J. B., Geisi K. High-pressure phase relations of CsD₂PO₄. «J. Solid State Chem.», 1981, 38, № 3, 307—311 (англ.)

В диапазоне давл. до 4,8 ГПа в аппарате типа поршень—цилиндр методом ДТА (скорость нагрева 0,5—0,8 град/с) в интервале т-р 0—470°С построена фазовая диаграмма монокрист. CsD₂PO₄, выращенного из водн. р-ра CsCO₃ и дейтерированной фосфорной к-ты. Крист. структура CsD₂PO₄ при коми. т-ре (парафаза) монокл. C_{2h}²—P2₁/m, точка Кюри при —8,5°С, что ниже лит. данных (—5,5°С). Координаты тройных точек I/II/V 262°С и 1,10, II/III/V 148°С и 1,12, I/V/VI 385°С и 2,99 и I/VI/жидк. 457°С и 4,2 ГПА. Фазовые границы соответствуют ур-ниям II/I $T(^\circ\text{C}) = 236 + 323 P$ (в ГПа), V/I $T = 277 + 89,8(P - 1,27) - 12,5(P - 1,27)^2$, VI/I $T = 382 + 68,9(P - 2,74) - 13,5(P - 2,74)^2$, VI/жидк. $T = 441 + 2,21(P - 3,87)$ и I/жидк. $T = 338 + 87,5P - 22,2P^2 + 1,6P^3$.

Б. А. Ступников

Х. 1981, 19, № 24.

CsPF₆

Connucca 11713

1981

Heyns A.M., et al.

(Tx) J. Solid State Chem.,
1981, 39, 106 - 113

1981

CsD₂PO₄

play
clearcut.

95: 89207c High-pressure phase relations of cesium di-deuterium phosphate. Kingon, A. I.; Clark, J. B.; Gesi, K. (Natl. Phys. Res. Lab., Counc. Sci. Ind. Res., Pretoria, 0001 S. Afr.). *J. Solid State Chem.* 1981, 38(3), 307-11 (Eng). The high-pressure phase diagram of CsD₂PO₄ to 4.5 GPa at 0-470° is reported. Comparisons are made with CsH₂PO₄ and correlated with the isotope effect on the high-temp. high-pressure phase relations of KH₂PO₄.



C.A. 1981, 95, v10

CsH₂PO₄

оттм. 15789

1982

19 Б791. Теплоемкость сегнетоэлектриков CsH_2PO_4 и CsD_2PO_4 . Specific heat study of ferroelectric CsH_2PO_4 and CsD_2PO_4 . Kanda Eizaburo, Yoshizawa Masahito, Yamakami Tsutom, Fujimura Tadao. «J. Phys. C: Solid State Phys.», 1982, 15, № 33, 6823—6831 (англ.)

Теплоемкость C_p сегнетоэлектриков CsH_2PO_4 (I) и CsD_2PO_4 (II) измерена в ранее описанном калориметре в интервале от 80 до 400 К. Монокристаллы I и II получены из водн. р-ров. Вблизи т-р перехода T_k в параэлектрич. состояние, равных 154,2 К для I и 267 К для II обнаружены аномалии C_p , имеющие гистерезисный характер. ΔH и ΔS переходов вычислены в интервале от $T_k - 60$ К до $T_k + 60$ К и составляют 158 ± 15 Дж/моль и $1,05 \pm 0,1$ Дж/моль К для I и 190 ± 32 Дж/моль и $0,75 \pm 0,15$ Дж/моль К для II. Аномалии C_p в области T_k описываются логарифмич. зависи-

G;

(1)

X. 1983, 19, N 9

составами $\Delta C_p = 2,20 - 0,60 \lg(T - T_k)$ при $0,5 < (T - T_k) < 16$ К, $\Delta C_p = 5,73 - 3,63 \lg(T_k - T)$ при $1,0 < (T_k - T) < 25$ К для I и $\Delta C_p = 2,05 - 0,54 \lg(T - T_k)$ при $0,5 < (T - T_k) < 25$ К, $\Delta C_p = 5,79 - 3,17 \lg(T_k - T)$ при $2,0 < (T_k - T) < 40$ К для II. C_p в параэлектрич. области оказалась выше, чем в сегнетоэлектрич. фазе, что является необычным и отличает I и II от KH_2PO_4 и триглицинсульфата. Аномальная зависимость C_p является следствием одномерных флюктуаций поляризации в I и II.

Л. А. Резницкий:

CsH_2PO_4

Ummuck 15789

1982

CsD_2PO_4

(Gp)

98: 96659u Specific heat study of ferroelectric pure and deuterated cesium dihydrogen phosphate. Kanda, Eizaburo; Yoshizawa, Masahito; Yamakami, Tsutom; Fujimura, Tadao (Res. Inst. Sci. Measurements, Tohoku Univ., Sendai, Japan 980). *J. Phys. C* 1982, 15(33), 6823-31 (Eng). The sp. heats were measured of ferroelec. CsH_2PO_4 [18649-05-3] and CsD_2PO_4 [56366-73-5] by using an a.c. calorimeter. The singularity of the sp. heat at the phase transition point was logarithmic. The anomalous sp. heats are due to the 1-dimensional fluctuation of the polarization in these materials. The exptl. results are compared with the pseudo-1-dimensional Ising model.

c. A. 1983, 98, N 12.

CsH_2PO_4

CsD_2PO_4

On. 18613

1983

100: 13424z Anomalous behavior in the heat capacities of pseudo-one-dimensional ferroelectrics cesium dihydrogen phosphate and cesium dideuterium phosphate. Imai, Kiyoyasu (Ishikawa Coll. Technol., Ishikawa, Japan 929-03). *J. Phys. Soc. Jpn.* 1983, 52(11), 3960-5 (Eng). The heat capacity measurements by the adiabatic method have shown the 2nd order character for the phase transitions of CsH_2PO_4 [18649-05-3] and CsD_2PO_4 [84271-67-0] with jumps in the heat capacities, $\Delta C_E = 4.5 \pm 0.7$ and $4.9 \pm 0.8 \text{ J K}^{-1} \text{ mol}^{-1}$, resp. For $T > T_c$ both heat capacities are so peculiar as to make estn. of their lattice parts very difficult. Compared with the pseudo 1-dimensional Ising theory, this behavior is interpreted in terms of the anomalously large polarization-fluctuations.

(G, T_{c2})

C.A.1984, 100, N2

$\text{Cs}_2\text{HPO}_4 \cdot 1,5\text{H}_2\text{O}$

1983

» 16 Б879. Исследование термического разложения полуторагидрата двузамещенного ортофосфата цезия. Нирша́ Б. М., Гудиница Э. Н., Ефремов В. А., Факеев А. А. «Ж. неорган. химии», 1983, 28, № 4, 840—843

Методами ТГА и рентгенофазового анализа исследованы превращения $\text{Cs}_2\text{HPO}_4 \cdot 1,5\text{H}_2\text{O}$ при нагревании на воздухе до 700° С. Предложена схема термич. разл. соединения, идентифицированы продукты. Методами формальной кинетики рассчитаны некоторые термодинамич. и кинетич. параметры процесса. Резюме

термическое
разложение

ж. 1983, 19, N 16

Tiukmugay Cs

1983

Schrering H. G. von Höne

W., Marriquez V., et al.

G₀, T_{tr}; Solid State Chem., 1982;
Proc. 2 Eur. Conf. Veldhoven,
7-9 June, 1982. Amsterdam
e.a., 1983, 765-768.

(cav. Tiukmugay Li; I)

CsH₂PO₄

1984

20 Б3162. Исследование CsH₂PO₄ [методом] комбинированного рассеяния света. Raman scattering study of CsH₂PO₄. Aoki Magane, Kasahara Masa-gi, Tatsuzaki Itagi. «J. Raman Spectrosc.», 1984, 15, № 2, 97—102 (англ.)

Методом спектроскопии КР в интервале 40—1200 см⁻¹ при т-рах 83 и 295 К исследованы монокристаллы CsH₂PO₄ (I), полученные в результате р-ции $\text{Cs}_2\text{CO}_3 + \text{P}_2\text{O}_5 + 2\text{H}_2\text{O} \rightarrow 2 \cdot \text{I} + \text{CO}_2$ и послед. медленного охлаждения образовавшегося водн. р-ра I. Изучаемые образцы имели кубич. форму со стороной 7 мм. Исследовались спектры КР излучения Аг лазера с $\lambda = 514,5$ нм и мощностью 300 мВт. Разрешение при их определении составляло 2,5 см⁻¹. Т-ра поддерживалась с точностью $\pm 0,05$ К. Проведен групповой анализ нормальных колебаний в структурах I, включающих 2 аниона HPO₄²⁻, 2 катиона Cs¹⁺ и 2 катиона H¹⁺ (параэл. фаза) и 2 аниона H₂PO₄¹⁻ и 2 катиона Cs¹⁺ (сегнетоэл. фаза). Показано, что активные моды при $k=0$ классифицируются след. образом: $13A_g + 8B_g$ в

Tz;

X. 1984, 19, N 20

параэл. фазе и 23А+22В, за исключением акустич. мод — в сегнетоэл. В классе А мягких мод не обнаружено. Изучены т-рные зависимости частоты и ширины линий внутр. мод ионов HPO_4^{2-} , соотв. геометрии рас-
сеяния $b(cc)a^*$ и $c(bb)a^*$, где a^* — перпендикуляр к
плоскости bc . При 295 К частоты данных мод равны
соотв. 992 и 991 см⁻¹. Характер их изменения указы-
вает на протекание при 154, 2 К фазового превраще-
ния. Обнаружено явление значит. анизотропии ука-
занных параметров. Полученные результаты интерпре-
тированы с точки зрения изменения при фазовом пре-
вращении параметра порядка структуры I и влияния
ионных конфигураций на ее фоновые характеристики.

В. Е. Смирнов

Лоба
(Oc)

CsPF₆

1984

1. 11 Б2039. Цезиевый гексафторфосфат: инфракрасная спектроскопия, комбинационное рассеяние, рентгеноструктурный анализ. An infrared, Raman, and single-crystal x-ray study of cesium hexafluorophosphate. English Robin B., Heuys Anton M. «J. Crystallogr. and Spectrosc. Res.», 1984, 14, № 6, 531—540 (англ.)

Проведен РСтА (λ Mo, анизотропный МНК по 114 отражениям до R 3,2%) CsPF₆ (I). Кристаллы I кубич., a 8,228 Å, Z 4, ф. гр. $Fm\bar{3}m$. В структуре I атомы Cs занимают вершины и центры граней куба (позиции 4a), атомы P размещены в центре куба и посередине ребер (позиции 4b) атомы F статистически заполняют позиции 48i и 96k в отношении 1:2 и находятся от атома P на расстоянии 1,60 и 1,58 Å. В I PF₆-октаэдры, занимают статистически 6 различных положений (эффект ориентац. беспорядка). По данным ИК-спектроскопии и комбинац. рассеяния локальная

*параллель
рассеяния*

X. 1985, 19, N 11

симметрия PF_6 -октаэдра несколько ниже чем $t\bar{3}m$, что
м. б. связано с небольшим смещением атома P из по-
ложения $4b$. Из рассмотрения колебат. спектров кри-
сталлов серии MPF_6 сделан вывод, что в I реориентац.
эффект, либрац. и торсионные колебания PF_6 -октаэд-
ров вносят вклад в уширение некоторых колебат. мод.

Г. Д. Илюшин

CsH_2PO_4

CsD_2PO_4

CKP, pag 10.

repeated

1984

100: 200099j Raman study of the phase transition in cesium dihydrogen phosphate and cesium dideuterium phosphate, Kasahara, Masaru; Aoki, Magane; Tatsuzaki, Itaru (Res. Inst. Appl. Electr., Hokkaido Univ., Sapporo, Japan 060), *Ferroelectrics* 1984, 55(1-2-3-4), 715-18 (Eng). Raman scattering study of CsH_2PO_4 (CDP) and CsD_2PO_4 (DCDP) was performed. From the no. of obsd. lines, the crystal symmetry in the paraelec. phase is lower than the av. symmetry C_{2h}^2 . The evidence for the splitting of the transverse and the longitudinal optical mode was found by observing the frequency of an internal mode of H_2PO_4^- ions in $b(cc)a^\circ$ and $c(bb)a^\circ$. The width of the internal mode of CDP and DCDP obsd. in both geometries showed anomalous changes below T_c except that of CDP in $c(bb)a^\circ$.

C.A. 1984, 100, N24

$CsH_2(D_2)PO_4$

1984

100: 165781b A comment on the phase transition in the quasi-one-dimensional system cesium dihydrogen phosphate ($CsH_2(D_2)PO_4$). Morozov, A. I.; Sigov, A. S. (Moscow Inst. Radio Eng. Electron. Autom., 117454 Moscow, USSR). *Ferroelectr. Lett. Sect.* 1984, . 2(3), 105-9 (Eng). The unusual behavior of thermodn. quantities near the phase transition in the quasi-1-dimensional system $CsH_2(D_2)PO_4$ is explained.

(T_{tr})

C. A. 1984, 100, N 20.

СиРД

1984

7 Б3161. ^{17}O ЯКР исследование псевдо-одномерного сегнетоэлектрического фазового перехода в CsH_2PO_4 . ^{17}O NQR study of the pseudo-one-dimensional ferroelectric phase transition in CsH_2PO_4 . Seliger J., Zagag V., Blinc R. «J. Chem. Phys.», 1984, 81, № 7, 3247—3249 (англ.)

Методом двойного ^{17}O ЯКР проведено исследование динамики Н-связи при псевдо-одномерном переходе из параэл. в сегнетоэл. фазу в CsH_2PO_4 . Представлены т-рные зависимости частот ЯКР и соотв. изменение квадрупольной константы связи e^2qQ/h и параметра ассиметрии η . Выше T_c выявляются два набора линий в спектрах А и В соотв. Линии А при T_c расщепляются на компоненты $\nu(A_1)$ и $\nu(A_2)$ и приписаны симм. $\text{O}-\text{H}_{(2)}\cdots\text{O}$ связям. В парофазе связанный ^{17}O является эквивалентным. Показано, что протоны в одномерных коротких $\text{O}-\text{H}_{(2)}\cdots\text{O}$ водородных связях перемещаются

Tc)

X. 1985, 19, № 7

между двумя равновесными положениями при $T > T_c$ и замораживаются в одной из нецентральных позиций ниже T_c . Поведение В-линий спектра, к-рые отвечают асимм. $\text{O}-\text{H}_{(1)}\cdots\text{O}$ -связям, полностью отличается от поведения линий в КДР. Протоны выше и ниже T_c являются упорядоченными и статич. и играют второстепенную роль в механизме фазового перехода.

В. Ф. Пономарев

CsHgPO_4

[№. 20219]

1984

физико-
хим. ис-
следован.,
 T_m , T_{tz} ;

Жигариков Б. М.,
Толеков А. А. к. г.
Узб. АН СССР. Неорган.
материалы, 1984, 20,
N 7, ● 1243 - 1248.

CsD₂PO₄

Он. 22 798

1985

8 E747. Исследование фазового перехода в CsD₂PO₄ методом комбинационного рассеяния света. Study of the phase transition of CsD₂PO₄ by Raman scattering. Aoki Magane, Kasahara Masaru, Tatsuzaki Itaru. «J. Raman Spectrosc.», 1985, 16, № 6, 407—411 (англ.)

На кристаллах соединения, выращенных путем охлаждения водного раствора соответствующих компонентов, измерено КРС в диапазоне частот 0—1400 см⁻¹ при т-рах 133 и 295 К, лежащих в областях существования сегнето- и параэлектрич. фаз. В интервале 210—290 К получены температурные зависимости частоты и ширины линии полносимметричной моды A вблизи 1012 см⁻¹. Аномалия последней при 250,1 К указывает на наличие фазового перехода. Частотный сдвиг, имеющий место ниже т-ры фазового перехода, позволяет качественно объяснить аномальное изменение ширины линии с температурой.

Б. Г. А.

phi. 1986, 18, N 8

CsD₂PO₄

(Oн. 22798) 1985

13 Б3166. Исследование фазового перехода в CsD₂-
PO₄ методом комбинационного рассеяния. Study of the
phase transition of CsD₂PO₄ by Raman scattering. Aoki
M a g a n e, Kasahara Masaru, Tatsuzaki Itaru. «J. Raman
Spectrosc.», 1985, 16, № 6, 407—411 (англ.)

Методом КР исследован фазовый переход из пара- в
сегнетоэлектрич. фазу в CsD₂PO₄. Измерены т-рные за-
висимости ширины линии и частоты одной из A мод
(1012 см⁻¹) для двух геометрий b(cc)a* и c(bb)a*. Ни-
же $T_c=250,1$ К происходит частотный сдвиг и резкое
изменение ширины линии. Для ТО моды ширина линии
аномально сужается ниже T_c и отсутствует частотный
сдвиг в этой обл. Аномальное поведение обсуждено с
учетом изменения параметра порядка. В. Ф. Пономарев

(Tc)

X. 1986, 19, N 13

Cs_3P_7

1985

Bolduan F., Hörlé W.,
et al.

T_{tz} :

Phys. status solidi, 1985,
B 132, N 1, 41-50.

(cav. Li_3P_7 ; 1)

$\text{Cs}_2\text{P}_2\text{S}_6$

1985

7 E186. Кристаллическая структура и колебательные спектры $\text{Cs}_2\text{P}_2\text{S}_6$ и $\text{K}_2\text{P}_2\text{S}_6$. Kristallstruktur und Schwingungsspektren der Caesium- und Kalium-Hexametadiphosphate $\text{Cs}_2\text{P}_2\text{S}_6$ und $\text{K}_2\text{P}_2\text{S}_6$. Brockner Wolfgang, Becker Robert, Eisenmann Brigitte, Schäfer Herbert. «Z. anorg. und allg. Chem.», 1985, 520, № 1, 51—58 (нем.; рез. англ.)

Кристал.
структур

(+1)



Ф. 1985, 18, № 7.

Cs₂P₂S₆

1985

102: 214069c Crystal structure and vibrational spectra of cesium and potassium hexathiometadiphosphates $Cs_2P_2S_6$ and $K_2P_2S_6$. Brockner, Wolfgang; Becker, Robert; Eisenmann, Brigitte; Schaefer, Herbert (Inst. Anorg. Chem., Tech. Univ. Clausthal-Zellerfeld, D-3392 Clausthal/Zellerfeld, Fed. Rep. Ger.). *Z. Anorg. Allg. Chem.* 1985, 520, 51-8 (Ger). $Cs_2P_2S_6$ with m.p. $440 \pm 10^\circ$ and $K_2P_2S_6$ with m.p. $508 \pm 10^\circ$ were prepd. from high purity elements. The compds. crystd. in orthorhombic space group $Imm\bar{m}$, $Z = 2$, with a 894.4(3)8, b 717.0(3), c 949.0(3) pm for CsP_2S_6 and a 832.5(3), b 686.4(3), and c 915.4(3) pm for $K_2P_2S_6$. The compds. are isotypic to $Tl_2P_2S_6$. In the structure there are discrete $P_2S_6^{2-}$ anions; 2 PS_4 tetrahedra are connected by a common edge to form the $P_2S_6^{2-}$ groups. The far IR, IR, and Raman spectra are assigned on the basis of $P_2S_6^{2-}$ units with D_{2h} symmetry in analogy to the isoelectronic Al_2Cl_6 .

Tm

(+2) 18

C. A. 1985, 102, N24-

$K_2P_2S_6$ (*Tm*)
 $P_2S_6^{2-}$ (UK CNERI)
CPY4K8.)

1985

Cs₂P₂S₆

Кристал структура

(7) 18

x. 1985, 19, N 15

15 Б2020. Кристаллическая структура и колебательные спектры гексатиометадифосфатов цезия и калия $\text{Cs}_2\text{P}_2\text{S}_6$ и $\text{K}_2\text{P}_2\text{S}_6$. Kristallstruktur und Schwingungsspektren der Caesium- und Kalium-Hexathiometadiphosphate $\text{Cs}_2\text{P}_2\text{S}_6$ und $\text{K}_2\text{P}_2\text{S}_6$. Brockner Wolfgang, Becker Robert, Eisenmann Brigitte, Schäfer Herbert. «Z. anorg. und allg. Chem.», 1985, 520, № 1, 51—58 (нем.; рез. англ.)

Проведен РСтА $\text{Cs}_2\text{P}_2\text{S}_6$. (I) и $\text{K}_2\text{P}_2\text{S}_6$ (II) (λ Mo, 510 и 427 отражений, анизотропный МНК до R 0,052 и 0,064 для I и II соотв.). Кристаллы I и II ромбич., Z 2, ф. гр. $Immm$, a 8,944 и 8,325, b 7,170 и 6,864, c 9,490 и 9,154, A , ρ (выч.) 2,84 и 2,11 для I и II соотв. I и II изоструктурны и принадлежат к структурному типу $\text{Tl}_2\text{P}_2\text{S}_6$. Структуры I и II состоят из катионов и анионов $\text{P}_2\text{S}_6^{2-}$. Анионы образованы из 2 тетраэдров PS_4 , имеющих общее ребро. Длины мостиковых связей P—S в анионах равны 2,173 и 2,139 Å для I и II соотв., а концевые связи P—S составляют в I 1,985, а в II 1,967 Å. Анионы в кристалле образуют слои, в

пустотах к-рых расположены катионы металлов. Восемь атомов S, координирующих катион, составляют тетрагон. призму. Расстояния Cs—S равны 3,677 и 3,772, а K—S 3,454 и 3,629 Å. Соединения I и II охарактеризованы ИК-спектрами и спектрами КР, в том числе и дальней ИК-области. Проведен групповой анализ частот колебаний. Приведены полные спектры и отнесение частот по типам колебаний.

М. В. Полякова

ого
яч

C₈H₁₂

[DM. 23084]

1985

Jacobs M., Massiepen K. et al.,

Мерку-
руди,
кремни.
сингу-
мипа

Z. Anorg. und Allg.
Chem., 1985, 531, N 12;
108-118.

Cs_3P_7

1985

Meyer Teodoro et.

Diss. Dokt. Naturwiss.

T_{t2} ; Chem. Fak. Univ. Stuttgart,
1985, 22% c., ill.

(Cs_3P_7 ; I)

CsH₂PO₄

1985

24 Б2485. Упругое поведение CsH₂PO₄ при комнатной температуре. The room temperature elastic behaviour of CsH₂PO₄. Prawer S., Smith T. F., Finlayson T. R. «Austral. J. Phys.», 1985, 38, № 1, 63—83 (англ.)

С помощью измерений скоростей распространения УЗ-колебаний определены значения упругих постоянных для монокл. кристалла CsH₂PO₄: $c_{11}=28,83$, $c_{22}=26,67$, $c_{33}=65,45$, $c_{44}=8,10$, $c_{55}=5,20$, $c_{66}=9,17$, $c_{12}=11,4$, $c_{13}=42,87$, $c_{15}=5,13$, $c_{23}=14,5$, $c_{25}=8,4$, $c_{35}=7,50$, $c_{46}=-2,25$ ГПа. На основе теорет. рассмотрения определены ориентаци. х-ки распространения упругих волн в кристалле, анизотропии модуля Юнга и линейной сжимаемости, обсуждается их корреляция с особенностями цепочечно-слоистой структуры CsH₂PO₄. Резюме

X. 1985, 19, № 24.

$\beta_3 \rho_7$ (om. 21368) 1985

Tentscher K., Gmelin E., et al.,

Pai308. Thermochem. acta, 1985,
repexog, 85, 151-154.
Cp

CsD₂PO₄

1985

) 12 E597. Ультразвуковая релаксация при фазовом переходе в кристалле CsD₂PO₄. Якушкин Е. Д., Левстик И. «Физ. тверд. тела» (Ленинград), 1985, 27, № 7, 2188—2190

Анализируется затухание продольных УЗ-волн частотой ≈ 10 МГц в упорядоченной фазе монокристалла CsD₂PO₄ (DCDP) с конц-ией дейтерия 98%, испытывающего фазовый переход $P2_1/m - P2_1$ при $T_c^D = 265$ К. Упорядочение в кристаллах DCDP носит квазидномерный характер. Отношение I_{\parallel}/I_{\perp} констант внутрицепочечного (I_{\parallel}) и межцепочечного (I_{\perp}) взаимодействий в DCDP составляет $\approx 10^2$, и квазидномерные корреляции приводят к сильному критич. замедлению. Аномальное затухание УЗ $\Delta\alpha_x$ асимметрично относительно T_c^D и связано с релаксацией параметра порядка в сегнетофазе. В интервале $0 < T_c^D - T < 3$ К величина $\Delta\alpha_x$ пропорциональна $(T_c^D - T)^{-1}$. Вид зависимости скорости УЗ от т-ры свидетельствует о том, что в DCDP

T_c

cf. 1985, 18, N 12

на частоте 10 МГц $\omega \tau \ll 1$ и справедливы соотношения:
 $\Delta\alpha_x = A\omega^2\tau$, $A = (v_\infty^2 - v_0^2)/2v_\infty^3$. Время релаксации τ ,
определенное по зависимости $\Delta\alpha_x(T)$, составляет 10^{-9} с
при $T_c - T \approx 1$ К, что хорошо согласуется с оценками
по результатам диэлектрич. измерений. Необычно
большое для сегнетоэлектриков значение τ в DCDP
объясняется в рамках кинетики квазиодномерной мо-
дели Изинга, в которой $\tau = \tau_0(I_{||}/I_{\perp}) (T_c - T)^{-1}$, т. е.
релаксация замедляется в $I_{||}/I_{\perp}$ раз по сравнению со
случаем изотропных корреляций (τ_0). Отмечается, что
в DCDP однородное упорядочение не устанавливается
в точке T_c^D , где корреляционная длина имеет конечное
значение.

А. Отко

дп.
ащен
"v"

CsD₂PO₄

1985

103: 183930r Ultrasound relaxation during phase transition in cesium deuterium phosphate (CsD_2PO_4). Yakushkin, E. D.; Levstik, A. (Inst. Kristallogr., Moscow, USSR). *Fiz. Tverd. Tela (Leningrad)* 1985, 27(4), 2188-90 (Russ). The absorption, α , and velocity of longitudinal ultrasound waves (~ 10 MHz) in CsD_2PO_4 crystals were studied by the echo-pulse method. Concentration of D in the sample was $\sim 98\%$ and ferroelec. phase transition temp. $T_c \approx 265$ K. The increased α near T_c at $T < T_c$ is related to relaxation of the order parameter in the ordered phase.

11/2

c.A.1985, 103, n22

$C_6H_2PO_4$

Lm. 24829

1986

Baranowski B., Friesel M.,
Lindén A.

publ.
referat

Z. Naturforsch., 1986,
A41, N 7, 981-982.



Сибирь (Сибирь) [ом. 23458] 1986

С. Р. Касемов Б. К., Абисов Д. Н.
ч. 2

ДФН,
оценки
Вестник АН Каз. ССР,
1986; № 3, 33-39.

CsP₇

1986

11 Б2045. Синтез и рентгенографическое исследование гептафосфида цезия. Косяков В. И., Потапова О. Г., Полянская Т. М. «Изв. СО АН СССР. Сер. хим. н.», 1986, № 2/1, 55—59 (рез. англ.)

Проведено рентгенографич. исследование кристаллов CsP₇, синтезированных из элементов при 400—480° С, при мольном отношении Р:Cs от 3,5 до 10,7 с добавкой J в кач-ве катализатора. Кристаллы ромбич., $a = 9,451$, $b = 9,15$, $c = 9,666$ Å, ρ (изм.) 2,74, $Z = 4$, ф. гр. $Pca\bar{2}_1$. Приведены результаты индицирования порошкограммы (85 рефлексов).

Из резюме

X. 1986, 19, N 11

СРДЗ(2)

Касимов В. Р.

1986

Физикохимические свойства
некоторых производственных
и промышленных метанов.

М.91.

Отчет № 1 А-1928, 26.03.86г.

ГРДЗ(К)

Киселев В. И.

1986

Переводнические свойства
некоторых фосфатов церогипса
и церогипозециевых мегапрод

М.р. Отчет № 8 А-1928, 26.03.86г.

G₃P₇(K) [Om. d22797]

1986

Santandrea R.P., Ellensing Ch.,
et al,

субсиниа-
церу
меруло-
гум.
cb-fa

Thermochim. acta, 1986,
98, 301-311.

CsPO_3

1987

Ber Hassen Dalila,
Kbir-Friguib, et al.

($\Delta_m H$)

Thermochim. Acta

1987, 116, 85-100.

(cess. LiPO_3 ; I)

CsH_2PO_4 [Om. 29570]

1987

Ishibashi Y.,

phys.

guarana

J. Phys. Soc. Jap.
1987, 56, N 12,

4408 - ● 4413

GPB(K) (Om. 26874) 1987

Klassen D.B., Kbir-Ari-
guib N., Trabelsi H., et al.

Thermochim. acta, 1987,
SmHj 116, 85-100.

1987

Cs₃P₇

172;

108: 123203z Chemistry and structural chemistry of phosphides and polyphosphides. 44. Tricesium heptaphosphide Cs₃P₇: preparation, structure, and properties. Meyer, Teodoro; Hoenle, Wolfgang; Von Schnering, Hans Georg (Max-Planck-Inst. Festkoe=rperforsch., D-7000 Stuttgart, 80 Fed. Rep. Ger.). *Z. Anorg. Allg. Chem.* 1987, 552, 69-80 (Ger). Cs₃P₇ was prep'd. from the elements by a quant. reaction at 1200 K in Nb ampuls. Slow cooling yielded the bright yellow α -Cs₃P₇, whereas quenching yielded the yellow orange β -Cs₃P₇. The cryst. α -Cs₃P₇ transforms at 552 K in a 1st order phase transition to the plastically cryst. β -Cs₃P₇. Both modifications are sensitive to moisture and O and are completely sol. in ethylenediamine yielding a pale yellow soln. At room temp. the ³¹P NMR spectra of such solns. show only 1 singlet, which corresponds to the valence tautomerism of P₇³⁻. α -Cs₃P₇ crystd. in a new structure type *P4*₁ consisting of heptaphospha-nortricyclene anions P₇³⁻ and Cs⁺ cations. The Cs atoms connect the anions forming a 3-dimensional arrangement (*d*(Cs-P) = 374 pm), not allowing the fragmentation into discrete Cs₃P₇ units. The P-P distances differ by their function in the nortricyclene anion. Each P₇ group is surrounded by 12 Cs atoms. β -Cs₃P₇ crystd. in the Li₃Bi-type structure. The P atoms of the anions surround the Bi position with an orientational disorder. The orientation was studied with a mixed crystal Cs₃(P₇)_{2/3}(P₁₁)_{1/3}.

C.A. 1988, 108, N 14

G₃P₇

1987

8 Б2022. Химия и структурная химия фосфидов и полифосфидов. 44. Cs₃P₇: получение, структура и свойства. Zur Chemie und Strukturchemie von Phosphiden und Polyphosphiden. 44. Tricäesiumheptaphosphid Cs₃P₇: Darstellung, Struktur und Eigenschaften. Meyer T., Höpke W., von Schnering H. G. «Z. anorg. und allg. Chem.», 1987, 552, № 9, 69—80 (нем.; рез. англ.)

Взаимодействием металлического Cs с аморф. Р при 1170 К, 400 Торр с послед. быстрым охлаждением получен β -Cs₃P₇ (I), при медленном охлаждении образуется α -Cs₃P₇ (II). При 552 К II обратимо переходит в I, к-рый плавится при 1203 К. Р-р I и II в C₂H₄(NH₂)₂ содержит таутомерные формы P₇³⁻, на что указывают данные ³¹P-ЯМР-спектроскопии. II и I изучены методом РСТА (соотв. R 0,081, 0,14, R_w 0,061, 0,07). Тетрагон. II и кубич. I имеют соотв. a 904,6, 1149,5, c 1671,4 нм, Z 4 и 4, ρ (выч.) 2,988, 2,870, ф. гр. P4₁ и Fm3m, для I СТ Li₃Bi (III). Ион P₇³⁻ в II имеет симметрию C_{3v}.

Pt2

X. 1988, 19, n8

Атомы Cs окружены 8, 9 или 10 атомами P 4 различных групп P_7^{3-} , Cs—P средн. 374 пм. Структура II родственна типу III. В I группы P_7^{3-} занимают позиции Bi СТ III и характеризуются ориентацией разупорядочением. Атомы Cs занимают позиции Li. I образует смешанные кристаллы с Cs_3P_{11} , для состава $Cs_3(P_7)_{2/3}(P_{11})_{1/3}$ значение a 1149,5 пм.

М. Б. Варфоломеев



$C_3 HP_2 O_7$

1987

Sarr O., Diop L.

Spectrochim. Acta,

Part A 1987, 43A(8),

999-1005.

Vi, ICK,
CKP.

(crys. $Na_3 HP_2 O_7 \cdot H_2 O$; III)

$\text{LiP}_{15}(\text{K})$ (OM 26827) (cm. 26753) / 987

Santandrea R.P., Allen-
sing Ch., et al.

смесь кимыр.
хим.,
медицин.
пазуровые,
металл.
Сб-Ба.

Thermochim. acta, 1987,
II, 261-270.

(cm. $\text{LiP}_{15}(\text{K})$; I)

1987

Cs₄P₆

12 Б2021. Тетрарубидийгексафосфид и тетрацезийгексафосфид: синтез, структура и свойства Rb₄P₆ и Cs₄P₆. Tetrarubidiumhexaphosphid und Tetracäsiumpexaphosphid: Darstellung, Struktur und Eigenschaften von Rb₄P₆ und Cs₄P₆. Von Schnering H. G., Meyer T., Höngle W., Schmettow W., Hinze U., Bauhofer W., Kliche G. «Z. anorg. und allg. Chem.», 1987, 553, № 10, 261—279 (нем.; рез. англ.)

Проведен РСТА Rb₄P₆ (I), Cs₄P₆ (II) (λ Ag, Mo, 497 отражений для I, 468 для II, R_I 0,050, R_{II} 0,031), полученных взаимодействием элементов в запаянной Nb-ампуле при 870 (для I), 920 К (для II). Параметры ромбич. решеток I, II: a 964,1, 997,2, b 1462,9, 1499,9, c 901,0, 943,8 пм, Z 4, ρ (выч.) 2,759, 3,376, ф. гр. $Fm\bar{m}m$. Структуры I, II производны от СТ AlB₂, кристаллохим. ф-ла $M_4P_6\square_2$, где $M=Rb$, Cs. Плоские гексагон. кольца P₆ (Р—Р 214—216 пм) формируют 10π ароматич. систему делокализованных π-электронов, в состав к-рой входит одна двойная связь, делокализующаяся по 6 связям. 2 типа атомов M связывают P₆.

система
структур

св-ва

(4)

X. 1988, 19, N 12

кольца. Один из атомов M располагается в Кл из колец P_6 между ними и координирован 10 атомами Р (Rb—Р 347,6—354,3, Cs—Р 358,7—372,4 пм), другой атом M связывает 4 P_6 кольца из разных Кл, располагаясь вне их, и координирован 8 Р (Rb—Р 362,0—355,4, Cs—Р 369,1—378,6 пм). В ЯМР-спектрах I, II наблюдаются по 3 синглета с хим. сдвигами: 337, —121, —226; 348, —115, —256 м. д. Значения δ 337, 348 млн. д. м. б. связаны с валентной таутомерией P_6^{4-} -анионов. Фундаментальные колебания $\nu(A_{1g})$, $\nu(E_{2g})$ в КР-спектрах I: 352, 506 и 202, в II: 354, 507 и 202 см^{-1} практически не отличаются от таковых в бензене. I и II диспропорционируют в E_n на M_3P_7 и M_3P , термич. разл. в Та-тиглях количественно доходит до M_3P_7 . I и II полупроводники черного цвета с металлич. блеском, E_g 1,3—1,6 эВ. Полуэмпирич. расчеты по методу МО—ЛКАО показали, что среди изомеров P_6^{4-} плоская гексагон. ароматич. 10 π система с энергией 7 эВ более устойчива, чем бицикло [3.1.0]гексафосфан (4). Для I и II приведены штрихдиаграммы порошкограмм.

В. Б. Калинин

Ю.
чием!

CsH₂PO₄

1988

108: 177608d Pressure dependence of high-temperature phase transitions in solid cesium dihydrogen phosphate and rubidium dihydrogen phosphate. Baranowski, B.; Friesel, M.; Lunden, A. (Dep. Phys., Chalmers Univ. Tech., S-412 96 Goteborg, Swed.). *Phys. Scr.*, 1988, 37(2), 209-13 (Eng.). Temps. and enthalpies of phase transitions were detd. by DSC for CsH₂PO₄ and RbH₂PO₄ at ≤ 1 GPa and ≤ 0.75 GPa, resp. For temps. between ambient and 400 K, the Cs salt has 2 monoclinic phases at normal pressure, while the Rb salt has 1 tetragonal and 2 monoclinic phases. For both salts the transition between monoclinic phases is reversible, although very sluggish for cooling. Adsorbed H₂O has an influence on the reversibility of the transition between tetragonal and monoclinic RbH₂PO₄. For CsH₂PO₄ the transition temp. is 380 ± 2 K at normal pressure and ~ 440 K at 1 GPa, and the transition enthalpy decreases when the pressure is increased. For RbH₂PO₄ the temp. of the structural transition increases from 352 ± 3 K at normal pressure to ~ 370 K at 0.75 GPa, while the enthalpy decreases. The transition between monoclinic phases (380 ± 3 K at normal pressure) appears to have a crit. point at ~ 0.15 GPa and 374 K, where the enthalpy approaches 0 while the gradient dT/dP has a sharp change. An alternative interpretation would be a triple point, but this is excluded since no evidence of a similar behavior was noticed for the transition line of the lower transition. A brief comparison is made of the results for the 2 dihydrogen phosphates with what is reported in the literature concerning RbH₂PO₄.

Pt₂, At₂H

(*H₂O*)

*C.A. 1988, 108,
N 20*

CsH₂PO₄

1988

9 E729. Зависимость высокотемпературных фазовых переходов в твердых CsH_2PO_4 и RbH_2PO_4 от давления. Pressure dependence of high temperature phase transitions in solid CsH_2PO_4 and RbH_2PO_4 . Вагаповский B., Friesel M., Lundén A. «Phys. scr.», 1988, 37, № 2, 209—213 (англ.)

Методом ДСК определены т-ры и энталпии фазовых переходов в CsH_2PO_4 и RbH_2PO_4 в интервале давлений соответственно до 1 ГПа и до 0,75 ГПа. Для т-р между комнатной и 400 К при норм. давлении соль цезия существует в двух моноклинных фазах, соль рубидия — в одной тетрагональной и двух моноклинных фазах. В CsH_2PO_4 при норм. давлении т-ра перехода 380 ± 2 К и около 440 К при 1 ГПа, энталпия перехода уменьшается при увеличении давления. В RbH_2PO_4 т-ра структурного перехода повышается от 352 ± 3 К при норм. давлении до 370 К при 0,75 ГПа, тогда как энталпия уменьшается. Переходу между моноклинными фазами (380 ± 3 К при норм. давлении), по-видимому, имеет трикритич. точку при 0,15 ГПа и 374 К, в которой энталпия приближается к нулю, а градиент dT/dp испытывает резкий скачок. Существование тройной точки не подтверждается. Библ. 26. Е. С. Алексеев

ΔH_{T2}, T_{T2}

(T_{T2})

φ. 1988, 18, N 9

CsH_2PO_4
 CsD_2PO_4

1988

12 E823. Линейная связь между температурой перехода и длиной водородной связи в кристаллах типа CsH_2PO_4 . Linear relation between transition temperature and hydrogen-bond length in CsH_2PO_4 -type crystals. Ichikawa Mizuhiko, Motida Kiyosi. «J. Phys. Soc. Jap.», 1988, 57, № 6, 2217—2218 (англ.)

Изучена зависимость т-ры сегнетоэлектрического фазового перехода (T_c) от длины водородной связи (R) для кристаллов CsH_2PO_4 , CsD_2PO_4 и RbD_2PO_4 . Установлена линейная зависимость $T_c = 4068(R - 2434)$, где T_c и R выражены соответственно в К и Å. Полученные результаты не позволяют полностью исключить предположение о туннелировании протонов как возможном механизме перехода, хотя и ставят его под сомнение.

Е. С. Алексеев

⊕ ⊖



φ. 1988, N 12

$C_8H_2PO_4$

1988

Волков А. О., Родионова О. Н. и др.

Ч. Всес. конгр. по химии
и механик. свойств. реагентов.
Литовск. гос. ун-т.
Измунов, 1988, 14.

(см. $R_8H_2PO_4$; I)

CsH_2PO_4

1989

З Б3133. Рентгенографическое исследование высокотемпературных фазовых переходов CsH_2PO_4 . X-ray study of the high-temperature phase transitions of CsH_2PO_4 / Bronowska W., Pietraszko A. // Twelfth European Crystallographic Meeting, Moscow, Aug. 20—29, 1989: Collect. Abstr. Vol. 1 / USSR Acad. Sci.—Moscow, 1989.— С. 468.— Англ.

В диапазоне т-р 293—570 К методом РФА исследовано фазовое поведение кристаллов CsH_2PO_4 . Обнаружено два структурных фазовых перехода при 422 и 503 К. Вблизи 570 К начинается разл. образца. Рассчитаны т-рные зависимости коэф. термич. расширения.

В. А. Ступников

X. 1990, № 3

CsH₂PO₄

07.32.312

1989

19 Б3116. Исследование сегнетоэлектрического фазового перехода в CsH₂PO₄ пироэлектрическим методом. Investigation of the ferroelectric phase transition of CsH₂PO₄ by the pyroelectric methods / Bronowska W., Mróz J., Vídenova-Adrabińska V. // Solid State Commun.— 1989.— 70, № 12.— С. 1095—1098.— Англ.

В диапазоне т-р 90—250 К методом короткого замыкания измерены пироэлектрич. коэф. сегнетоэлектрич. кристаллов CsH₂PO₄. Образцы поляризовались полем 4×10^5 В/м в сегнетоэлектрич. фазе и нагревались со скоростью $8,4 \times 10^{-3}$ К/с. Пиковое значение пироэлектрич. коэф. отвечает $T_c = 154,5$ К. Пироэлектрич. заряд не исчезает полностью выше T_c , монотонно уменьшаясь с т-рой. Имеются нек-рые флуктуации на кривых зависимости заряда от т-ры. Рассчитано изменение спонтанной поляризации. Полученные результаты сопоставлены с данными по КДР.

Г. Л. Апарников

X. 1989, N 19

CsH₂PO₄

1989

24 Б3235. Исследование методом ЯМР на ядрах ^{133}C одномерных флюктуаций в CsH_2PO_4 и его сегнетоэлектрического и антисегнетоэлектрического перехода при высоком давлении. ^{133}Cs nuclear magnetic resonance study of one-dimensional fluctuations in CsH_2PO_4 and its ferroelectric and antiferroelectric transitions at high pressure / Schuele P. J., Schmidt V. H. // Phys. Rev. B.— 1989.— 39, № 4.— С. 2549—2556.— Англ.

III
t₂

В диапазоне т-р 220—123 К и в обл. гидростатич. давл. Не до 3,6 кбар методом ЯМР на ^{133}C исследованы барич. и т-рные зависимости одномерных флюктуаций, связанных с сегнето- и антисегнетоэлектрич. фазовыми переходами монокристалла CsH_2PO_4 . Т-ра T_c (переход в сегнетофазу) составила 153К при 1 бар, 140,5 К при 1,5 кбар и 127 К при 3,0 кбар. Тройная точка при $T_{tr}=124,6$ К и 3,3 кбар, т-ра Нееля (переход в антисегнетофазу) $T_N=123$ К при 3,6 кбар. С уменьшением т-ры T_1 время спин-решеточной релаксации вначале уменьшается по экспоненте вследствие одномерных флюктуаций, связанных с взаимодействиями в разупорядоченных цепочках Н-связей. При дальнейшем падении т-ры T_1 уменьшается линейно в результате взаимодействия I_c между цепочками в плоско-

X.1989, N 24

сти Н-связей. При 3,3 кбар I_c меняет знак. При экстраполяции $I_c=0$ при давл. 8,9 кбар. По резюме

ан
ад

$C_8H_2PO_4$ 1989

Scott James Floyd.

Pis'ma Zh. Eksp. Teor.

(T_{t_2}) Fiz. 1989, 49 (4), 202-4.

(ccr. $RMnF_3$; I)

CsH₂PO₄

1990

13 Б2045. Рентгенографическое исследование ферроэлектрического фазового перехода в CsH₂PO₄. X-гату study of the ferroelectric phase transition in CsH₂PO₄: [Pap.] 15th Congr. Int. Union Crystallogr., Bordeaux 19—28 July, 1990 / Bronowska W., Pietraszko A. // Acta crystallogr. A.— 1990.— 46, Suppl.— С. 341.— Англ.

Рентгенографически изучен ферроэлектрич. фазовый переход в CsH₂PO₄ (I) при 154 К и зависимость параметров решетки I от т-ры. Фазовый переход сопровождается спонтанной поляризацией вдоль оси моноклинности b. Диэл. константа I обнаруживает отклонения от закона Кюри-Вейсса. С. С. Мешалкин

(T_{E2})

ж. 1991, N 13

CsPO_3

1990

Дубровин Е. Ф.

Серикова Р. В.

Узб. АН СССР. Сер. физ.

1990. 54, № 4. с. 714-716

T_{tz}

(CsLi_x)

LiVO_3 ; I)

СЧары

1990

- 18 Б3093. Особенности эволюции низко- и инфра-
низкочастотной дисперсии диэлектрической проницаемо-
сти при фазовом переходе в кристаллах дигидрофосфа-
та цезия / Галиярова Н. М., Вологирова Л. Х., Шиль-
ников А. В., Горин С. В. // Сегнетоэлектрики и пьезо-
электрики / Твер. гос. ун-т.— Тверь, 1990.— С. 57—64.
— Рус.

Исследована эволюция двух обл. дисперсии диэлек-
трич. проницаемости вблизи точки фазового перехода
и точки «замораживания» доменной структуры в кри-
сталлах дигидрофосфата цезия (CDP). Предполагается,
что инфранизкочастотная (ИНЧ) обл. дисперсии обус-
ловлена боковым движением 180° доменных стенок, а
низкочастотная (НЧ) — торцевым движением иглооб-
разных доменов.

фазовый
переход

ж. 1991, № 18

$\text{Cs}_3 \text{PO}_4(\text{k})$ 1991

Ball R.G.J.,

Bowsher B.R. et al.

measuring
qp-CEI

Comm. Eur. Communi-
ties, [Rep.] EUR 1991,
EUR 14004, 174 pp.

(c.u. $\bullet \text{CsBO}_2(\text{q})$; $\overline{\Gamma}$)

GPO₃

[DM. 36593]

1992

Маркировка И.В., Вассер Н.Н.
к ГР.

(T₂) И. В. Маркин. Химии,
1992, № 7, 1638–1641

Cs_2MoO_4

1993

Cordfunke E.H.P., et al.,

J. Chem. Thermodyn.

(Solid, $\Delta_f H^\circ$) 1993, 25(2), 1011-16.

(all. Cs)



$\text{MoO}_4 ; \text{I}$)

$C_3H_2PO_4$

1994

$C_3D_2PO_4$ Всех. О. Т., Чур. д. л.
" гр.

термическое
расщепление
Ряз. твёрд. тела
(С.-Петербург) 1994.
36, № 10. С. 2890-2895.

(см. RBD_2PO_4 , I)

Cs₃P₆N₁₁

2001

F: Cs3P6N11

P: 1

02.08-19Б2.31. Rb[3]P[6]N[11] и Cs[3]P[6]N[11] - новые
высококонденсированные нитridoфосфаты, полученные
высокотемпературным синтезом под высоким давлением.
Rb[3]P[6]N[11] and Cs[3]P[6]N[11] - new highly condensed
nitridophosphate high-pressure high-temperature
synthesis / Landskron Kai, Schnick Wolfgang J. Solid
State Chem. - 2001. - 156, N 2. - С. 390-393. - Англ.

Нитridoфосфаты Rb[3]P[6]N[11] (I) и CsP[6]N[11] (II)
получены взаимодействием соответствующих щелочных азидов с
P[3]N[5] при 35 кбар и 1300°C, используя установку со
многими наковальнями. Продукты I и II получены в виде
бесцветных кристаллических порошков и по данным РФА изотипны
K[3]P[6]N[11] (III). Структуры уточнены по методу
Ритвельда, используя атомные координаты III исходные
величины, кристаллографические данные: для I ф. гр.
P4[1] 32, Z 1049,74 пм; для II a 1065,15 пм.